

量子信息与量子密码

Quantum Information & Quantum Cryptology

[第5次课] 量子逻辑线路模型

授课教师：杨理

授课时间：2022年4月2日

内容概要

- 一、Deutsch定理
- 二、单量子比特酉变换
- 三、受控运算
- 四、量子线路的测量问题
- 五、通用运算的有效离散集合
- 六、两极酉门

一、Deutsch定理

Deutsch定理（量子网络的可分解定理）

任意 d 维酉变换总可以被分解为 $2d^2 - d$ 个二维酉变换的乘积，并且任何作用在一组量子位上的酉变换均可以用一系列单量子位门（ $U(\alpha, \phi)$ 门）和双量子位门（**CNOT** 门）依次作用来实现。

证明：可证用 $d-1$ 个酉变换可实现
$$\begin{bmatrix} a_1 \\ \vdots \\ a_d \end{bmatrix} \rightarrow \begin{bmatrix} 1 \\ 0 \\ \vdots \\ 0 \end{bmatrix}$$

Deutsch定理 (2)

为此, 取 $A_2 = \frac{1}{\sqrt{|a_1|^2 + |a_2|^2}} \begin{bmatrix} a_1^* & a_2^* \\ a_2 & -a_1 \end{bmatrix},$

有 $A_2 \begin{bmatrix} a_1 \\ a_2 \end{bmatrix} = \begin{bmatrix} \sqrt{|a_1|^2 + |a_2|^2} \\ 0 \end{bmatrix}.$

Deutsch定理 (3)

再取:

$$A_3 = \frac{1}{\sqrt{|a_1|^2 + |a_2|^2 + |a_3|^2}} \begin{bmatrix} \sqrt{|a_1|^2 + |a_2|^2} & a_3^* \\ a_3 & -\sqrt{|a_1|^2 + |a_2|^2} \end{bmatrix}$$

$$A_3 \begin{bmatrix} \sqrt{|a_1|^2 + |a_2|^2} \\ a_3 \end{bmatrix} = \begin{bmatrix} \sqrt{|a_1|^2 + |a_2|^2 + |a_3|^2} \\ 0 \end{bmatrix}$$

Deutsch定理 (4)

如此继续下去, 可得

$$\tilde{A}_d \cdots \tilde{A}_3 \tilde{A}_2 \begin{bmatrix} a_1 \\ \vdots \\ a_d \end{bmatrix} = \sqrt{|a_1|^2 + \cdots + |a_d|^2} \begin{bmatrix} 1 \\ 0 \\ \vdots \\ 0 \end{bmatrix}$$

A 是酉阵, 必有 $\sqrt{|a_1|^2 + \cdots + |a_d|^2}$

这里 \tilde{A}_i 是 2×2 矩阵 A_i 所对应的 $d \times d$ 矩阵。

Deutsch定理 (5)

- ①证明任意酉变换 U 可表为 $d(2d-1)$ 个二级酉变换的乘积。
- ②任何二级酉变换均可用 $U(\alpha, \phi)$ 和量子 **CNOT** 门来实现。

关于①和②的证明

①的原始证明：直接构造方法。

①的改进证明（教材）：降低了复杂度。

②的证明（教材4.5.2）：单量子位门和受控非门构成通用门组

二、单量子比特酉变换

1、Pauli矩阵：在以 σ_z 的本征态为基的表示中，

$$X \equiv \sigma_x = \begin{pmatrix} 0 & 1 \\ 1 & 0 \end{pmatrix}, Y \equiv \sigma_y = \begin{pmatrix} 0 & -i \\ i & 0 \end{pmatrix}, Z \equiv \sigma_z = \begin{pmatrix} 1 & 0 \\ 0 & -1 \end{pmatrix},$$

X, Y, Z : 量子信息中常用的记号.

注意： $\vec{\sigma}$ 是以矩阵为分量的三维向量.

单量子比特酉变换 (2)

2、定义: $H = \frac{1}{\sqrt{2}} \begin{bmatrix} 1 & 1 \\ 1 & -1 \end{bmatrix}$, $S = \begin{bmatrix} 1 & 0 \\ 0 & i \end{bmatrix}$, $T = \begin{bmatrix} 1 & 0 \\ 0 & e^{i\frac{\pi}{4}} \end{bmatrix}$,

相位门 $\frac{\pi}{8}$ 门

易见: $T^2 = S$, $S^2 = Z$, $Z^2 = Y^2 = X^2 = 1$.

单量子比特酉变换（3）

3、Bloch球面：

$\alpha|0\rangle + \beta|1\rangle \leftrightarrow$ 单位球面上的点 (θ, φ) ,

$$\alpha = \cos \frac{\theta}{2}, \beta = e^{i\varphi} \sin \frac{\theta}{2},$$

$\frac{\theta}{2}$ 的取法是使 θ 对应于自旋在三维空间中的取向.

Bloch矢量：

$$\vec{\lambda} = (\sin \theta \cos \varphi, \sin \theta \sin \varphi, \cos \theta),$$

与Poincare球(面)的区别：Poincare球(面)针对经典光学偏振态，与态向量对应。

Bloch球(面)是关于任意量子二态系统，与密度矩阵对应。

单量子比特酉变换（4）

4、旋转算子：

$$R_x(\theta) \equiv e^{-i\theta X/2}, R_y(\theta) \equiv e^{-i\theta Y/2}, R_z(\theta) \equiv e^{-i\theta Z/2},$$

一个有用的公式：

对 $\forall A$ 满足 $A^2 = I$, 有 $\exp(i A x) = \cos x I + i \sin x A$,

单量子比特酉变换 (5)

$$\Rightarrow \left\{ \begin{array}{l} R_x(\theta) = \cos \frac{\theta}{2} I - i \sin \frac{\theta}{2} X = \begin{bmatrix} \cos \frac{\theta}{2} & -i \sin \frac{\theta}{2} \\ -i \sin \frac{\theta}{2} & \cos \frac{\theta}{2} \end{bmatrix}, \\ R_y(\theta) = \cos \frac{\theta}{2} I - i \sin \frac{\theta}{2} Y = \begin{bmatrix} \cos \frac{\theta}{2} & -\sin \frac{\theta}{2} \\ \sin \frac{\theta}{2} & \cos \frac{\theta}{2} \end{bmatrix}, \\ R_z(\theta) = \cos \frac{\theta}{2} I - i \sin \frac{\theta}{2} Z = \begin{bmatrix} e^{-i\theta/2} & 0 \\ 0 & e^{i\theta/2} \end{bmatrix}. \end{array} \right.$$

(图像: $\vec{\lambda}$ 绕 x, y, z 轴旋转 θ)

单量子比特酉变换 (6)

易见 $T=R_z\left(\frac{\pi}{4}\right)$,

$$R_{\vec{n}}(\theta) \equiv e^{-i\theta\vec{n}\cdot\vec{\sigma}/2} = \cos\frac{\theta}{2}I - i\sin\frac{\theta}{2}(n_xX + n_yY + n_zZ),$$

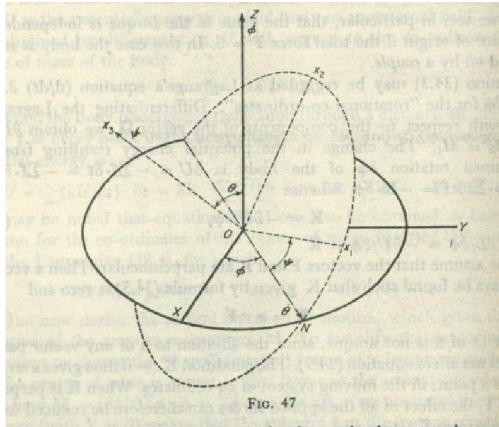
($\vec{\lambda}$ 绕 \vec{n} 轴旋转 θ)

因子 $\frac{1}{2}$: 旋转 4π 才回到原来的值.

原因是 $SU(2)$ 对称性, 这是 $\frac{1}{2}$ 旋量的特点. 旋转 $\theta=2\pi$, $R_{\vec{n}}(2\pi)=-I$.

单量子比特酉变换 (7)

在经典力学中，刚体的一般转动可用欧拉角 (ψ, θ, ϕ) 描述：



ϕ : 进动角（轴转动）

ψ : 自转角

θ : 章动角（z轴上下颤动）

欧拉运动学方程：

$$\begin{cases} \omega_x = \dot{\phi} \sin \theta \sin \psi + \dot{\theta} \cos \psi \\ \omega_y = \dot{\phi} \sin \theta \cos \psi - \dot{\theta} \sin \psi \\ \omega_z = \dot{\phi} \cos \theta + \dot{\psi} \end{cases}$$

单量子比特酉变换 (8)

在量子力学中，球坐标下有（ \hat{J} 为角动量算符）

$$e^{-iJ_y\theta} \hat{J}_z e^{iJ_y\theta} = J_z \cos \theta + J_x \sin \theta,$$

$$e^{-iJ_z\varphi} J_x e^{iJ_z\varphi} = \hat{J}_x \cos \varphi + J_y \sin \varphi.$$

若 $\Psi_m^{(0)}$ 是 J_z 的本征函数，即 $J_z \Psi_m^{(0)} = m \Psi_m^{(0)}$ ，

则 $\Psi_m = e^{-iJ_z\varphi} e^{-iJ_y\theta} \Psi_m^{(0)}$ 是算符

$$J_\xi = J_x \sin \theta \cos \varphi + J_y \sin \theta \sin \varphi + J_z \cos \theta$$

的本征函数，即：

$$\hat{J}_\xi \Psi_m = m \Psi_m.$$

单量子比特酉变换 (9)

考虑欧拉角描述。当转动欧拉角 (θ, ψ, φ) 时，自旋函数分量的变换矩阵为：

$$\begin{pmatrix} e^{\frac{i}{2}(\varphi+\psi)} \cos \frac{\theta}{2} & ie^{\frac{i}{2}(\varphi-\psi)} \sin \frac{\theta}{2} \\ ie^{-\frac{i}{2}(\varphi-\psi)} \sin \frac{\theta}{2} & e^{-\frac{i}{2}(\varphi+\psi)} \cos \frac{\theta}{2} \end{pmatrix} (= R_z(-2\varphi) R_x(-2\theta) R_z(-2\psi)).$$

故有自旋函数分量的变换算符为：

$$\hat{T}(\psi, \theta, \varphi) = e^{i\varphi s_z} e^{i\theta s_x} e^{i\psi \hat{s}_z},$$

单量子比特酉变换 (10)

对于绕 \vec{n} 轴转 ϕ 角, 转动算符为

$$\begin{aligned}\hat{R}(\vec{n}, \theta) &= e^{i\phi\vec{n}\cdot\vec{s}} = e^{i\phi\vec{n}\cdot\left(\frac{1}{2}\vec{\sigma}\right)} \\ &= \cos\frac{\phi}{2} + i\vec{n}\cdot\vec{\sigma}\sin\frac{\phi}{2}.\end{aligned}$$

单量子比特酉变换 (11)

欧拉角 (θ, ψ, ϕ) 与 (\vec{n}, ϕ) 的关系:

$$\cos \frac{\phi}{2} = \cos \frac{\theta}{2} \cos \frac{1}{2}(\phi + \psi),$$

$$n_x \sin \frac{\phi}{2} = \sin \frac{\theta}{2} \cos \frac{1}{2}(\phi - \psi),$$

$$n_y \sin \frac{\phi}{2} = \sin \frac{\theta}{2} \sin \frac{1}{2}(\phi - \psi),$$

$$n_z \sin \frac{\phi}{2} = \cos \frac{\theta}{2} \sin \frac{1}{2}(\phi + \psi).$$

注意: $e^{i\phi\vec{n}\cdot\vec{s}} \neq e^{i\phi n_x \cdot s_x} e^{i\phi n_y \cdot s_y} e^{i\phi n_z \cdot s_z}.$

单量子比特酉变换 (12)

5、单量子比特的y-z和x-z分解:

(1) 任一单量子比特酉算子可以写成 $U = \exp(i\alpha) R_{\vec{n}}(\theta)$ 形式。

(2) 定理: 对任意单量子比特的 U 变换, 存在实参数 $\alpha, \beta, \gamma, \delta$, 使得 $U = e^{i\alpha} R_z(\beta) R_y(\gamma) R_z(\delta)$,

单量子比特酉变换 (13)

可以从酉矩阵的定义出发，得到

$$U = \begin{bmatrix} e^{i\left(\alpha - \frac{\beta}{2} - \frac{\delta}{2}\right)} \cos \frac{\gamma}{2} & -e^{i\left(\alpha - \frac{\beta}{2} + \frac{\delta}{2}\right)} \sin \frac{\gamma}{2} \\ e^{i\left(\alpha + \frac{\beta}{2} - \frac{\delta}{2}\right)} \sin \frac{\gamma}{2} & e^{i\left(\alpha + \frac{\beta}{2} + \frac{\delta}{2}\right)} \cos \frac{\gamma}{2} \end{bmatrix},$$

从而证实定理所述分解的存在。

但分解定理的来源是 \hat{T} 的欧拉角表示。

单量子比特酉变换 (14)

(3) 推论：存在酉算子 A, B, C , 满足 $ABC = I$,

使： $U = e^{i\alpha} AXBXC$.

证明：取

$$A = R_z(\beta) R_y\left(\frac{\gamma}{2}\right),$$

$$B = R_y\left(-\frac{\gamma}{2}\right) R_z\left(-\frac{\delta + \beta}{2}\right),$$

$$C = R_z\left(\frac{\delta - \beta}{2}\right),$$

$$\begin{aligned} \text{则：} \quad ABC &= R_z(\beta) R_y\left(\frac{\gamma}{2}\right) R_y\left(-\frac{\gamma}{2}\right) R_z\left(-\frac{\delta + \beta}{2}\right) R_z\left(\frac{\delta - \beta}{2}\right) \\ &= R_z(\beta) R_z(-\beta) = I. \end{aligned}$$

单量子比特酉变换 (15)

$$XYX = \begin{pmatrix} 0 & 1 \\ 1 & 0 \end{pmatrix} \begin{pmatrix} 0 & -i \\ i & 0 \end{pmatrix} \begin{pmatrix} 0 & 1 \\ 1 & 0 \end{pmatrix} = \begin{pmatrix} i & 0 \\ 0 & -i \end{pmatrix} \begin{pmatrix} 0 & 1 \\ 1 & 0 \end{pmatrix} \begin{pmatrix} 0 & i \\ -i & 0 \end{pmatrix} = -Y,$$

$$\begin{aligned} XR_y(\theta)X &= X \left(\cos \frac{\theta}{2} I - i \sin \frac{\theta}{2} Y \right) X = \cos \frac{\theta}{2} I + i \sin \frac{\theta}{2} Y \\ &= \cos \left(-\frac{\theta}{2} \right) I - i \sin \left(-\frac{\theta}{2} \right) Y = R_y(-\theta), \end{aligned}$$

$$XBX = XR_y\left(-\frac{\gamma}{2}\right)XXR_z\left(-\frac{\delta+\beta}{2}\right)X = R_y\left(\frac{\gamma}{2}\right)R_z\left(\frac{\delta+\beta}{2}\right),$$

单量子比特酉变换 (16)

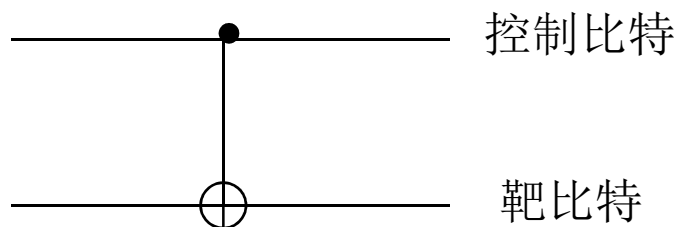
$$\begin{aligned}\Rightarrow AXBXC &= R_z(\beta) R_y\left(\frac{\gamma}{2}\right) R_y\left(\frac{\gamma}{2}\right) R_z\left(\frac{\delta + \beta}{2}\right) R_z\left(\frac{\delta - \beta}{2}\right) \\ &= R_z(\beta) R_y(\gamma) R_z(\delta),\end{aligned}$$

$$e^{i\alpha} AXBXC = e^{i\alpha} R_z(\beta) R_y(\gamma) R_z(\delta) = U.$$

练习： $z-x$ 分解.

三、受控运算

(1) CNOT门



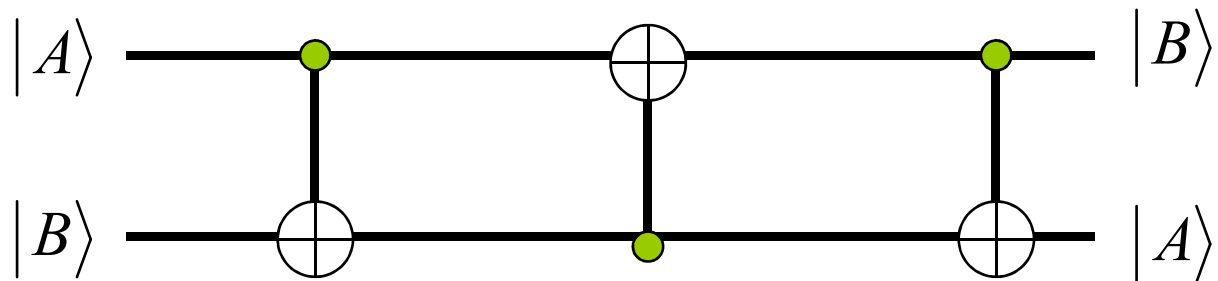
$$|c\rangle|t\rangle \rightarrow |c\rangle|t \oplus c\rangle.$$

矩阵表示:

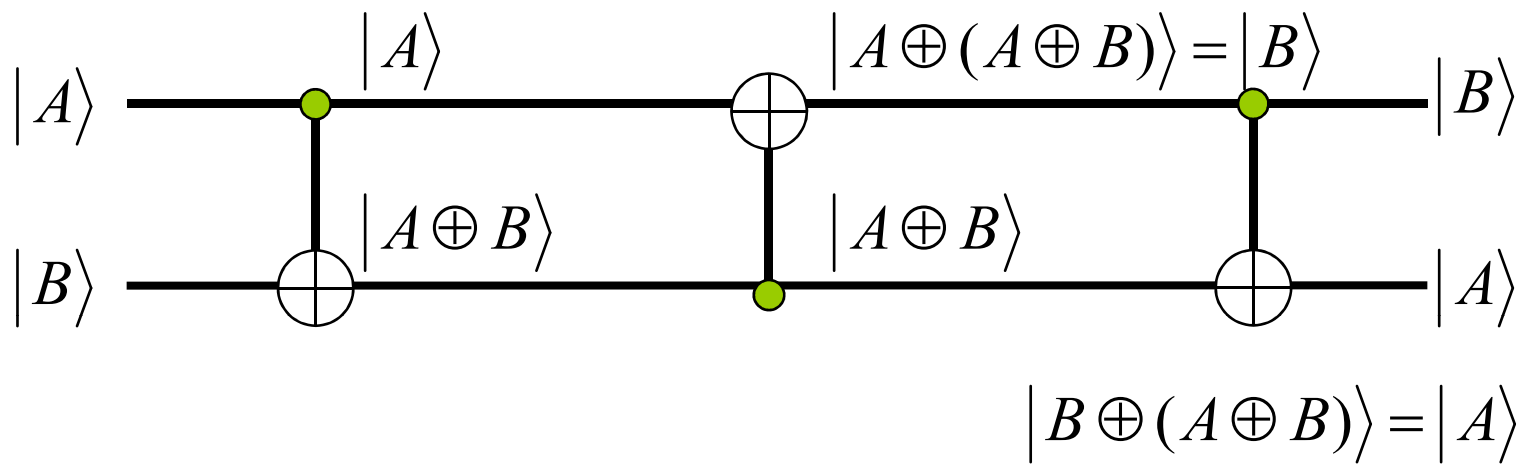
$$\begin{bmatrix} 1 & 0 & 0 & 0 \\ 0 & 1 & 0 & 0 \\ 0 & 0 & 0 & 1 \\ 0 & 0 & 1 & 0 \end{bmatrix}$$

Qubit Swap Circuit

- Using the conventions for control and target qubits, we can build interesting circuits
- Example: **A Qubit Swap Circuit**



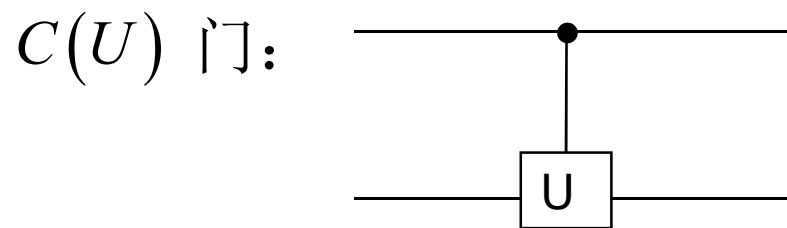
Qubit Swap Circuit



思考题：基于此给出Toffoli门到Fridkin门的构造。

受控U变换

(2) 一般的受控变换:

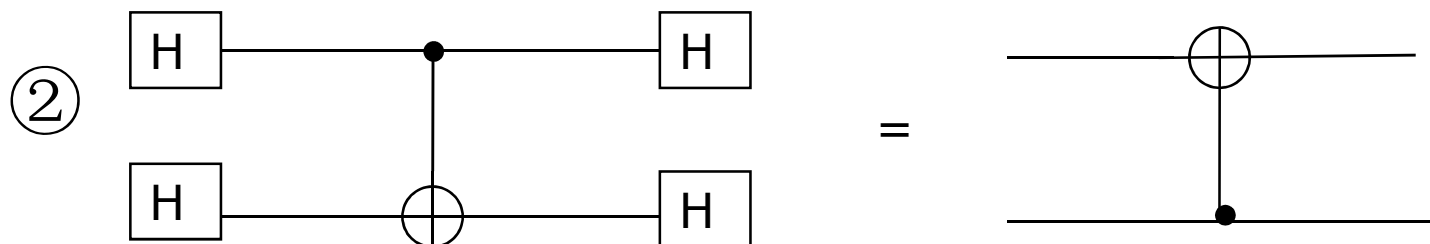
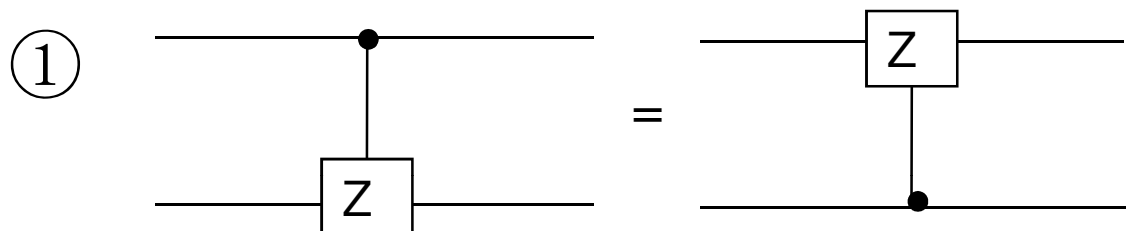


$$|c\rangle|t\rangle \rightarrow |c\rangle U^c |t\rangle.$$

$$\text{如: } \frac{1}{\sqrt{2}} \left(|0\rangle|t_0\rangle + |1\rangle|t_1\rangle \right) \rightarrow \frac{1}{\sqrt{2}} |0\rangle|t_0\rangle + |1\rangle U |t_1\rangle.$$

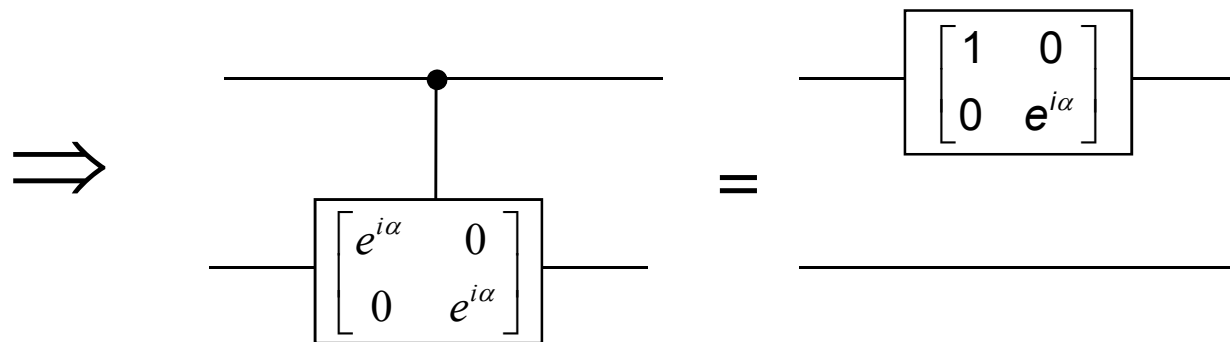
两个练习

证明：



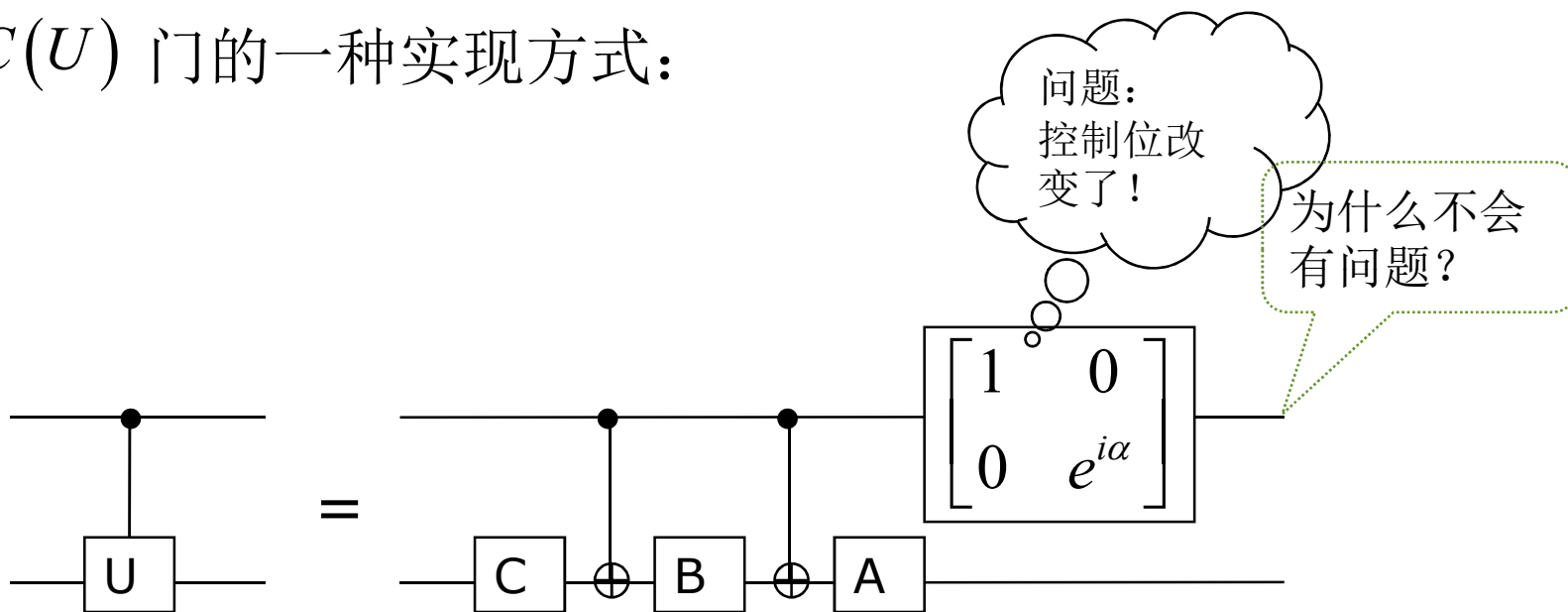
如何实现 $C(U)$ 运算？

① 受控相移 ($e^{i\alpha}$):
$$\begin{cases} |00\rangle \rightarrow |00\rangle, \\ |01\rangle \rightarrow |01\rangle, \\ |10\rangle \rightarrow e^{i\alpha} |10\rangle, \\ |11\rangle \rightarrow e^{i\alpha} |11\rangle. \end{cases}$$



如何实现 $C(U)$ 运算？

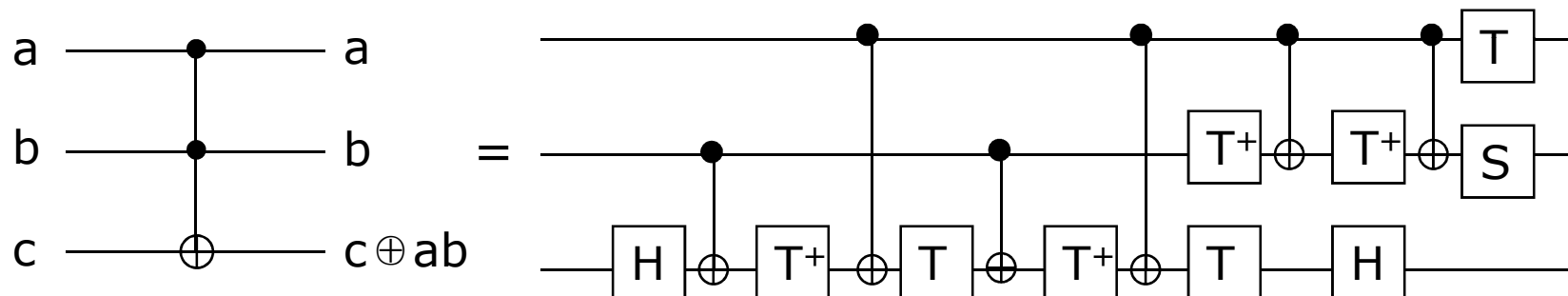
② $C(U)$ 门的一种实现方式：



受控运算 (5)

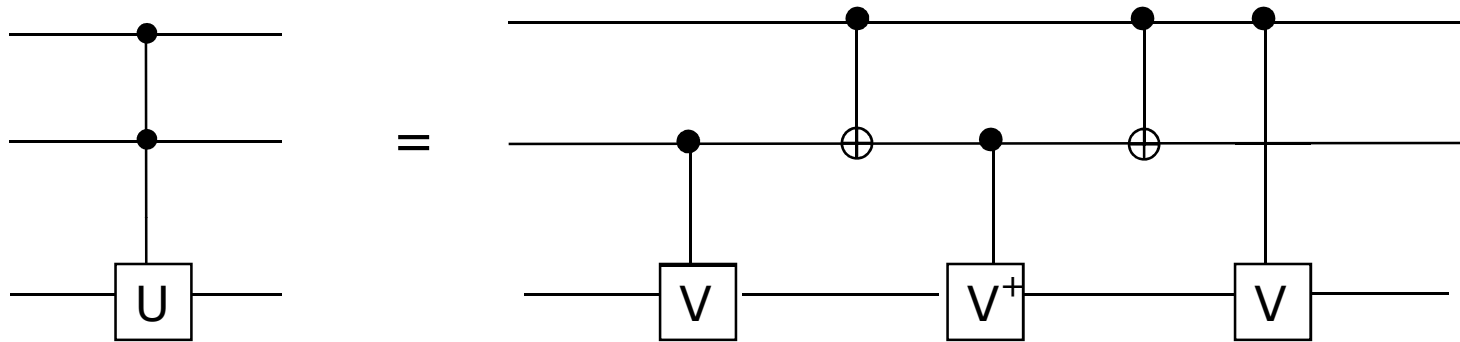
(3) Toffoli门：可逆计算的通用门

(经典计算时，CNOT+单比特门不是通用门)



受控运算 (6)

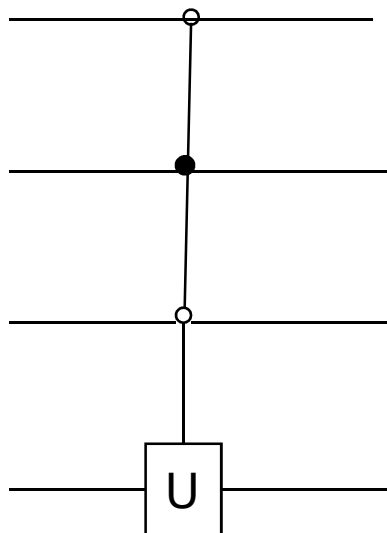
(4) $C^2(U)$ 门: 设 $V^2 = U$ 则有:



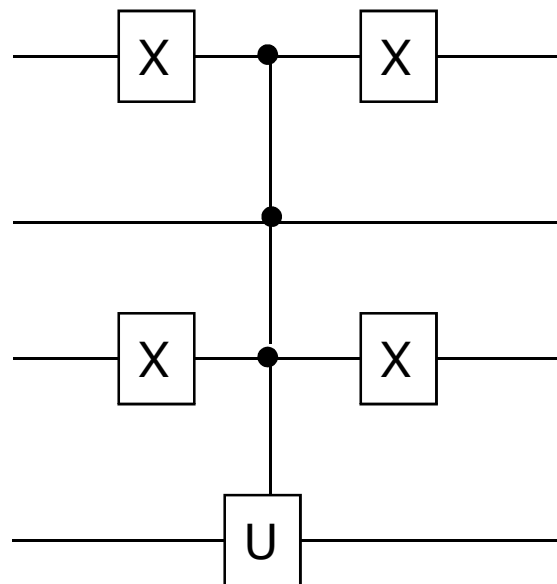
思考题: 取 $U=X$, 利用受控 U 变换的 **ABC** 分解, 得到 Toffoli 门到 CNOT 门 + 单量子位门的分解。

受控运算 (7)

(5)

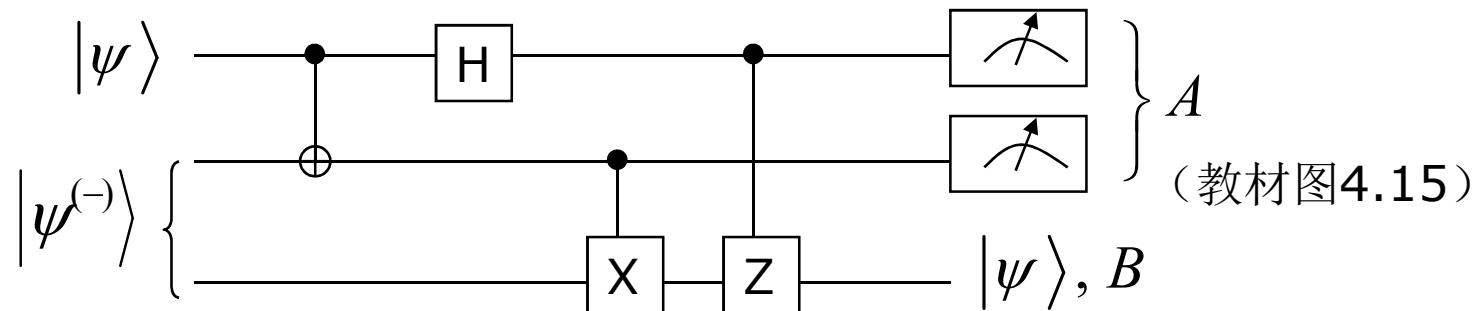


=



作业：练习4.31

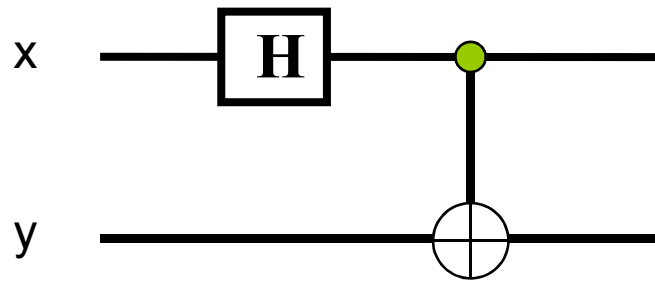
四、量子线路的测量问题



- (1) “deferred measurement”, 纠缠态问题
- (2) “implicit measurement”, 超光速信号传递问题
(可将纠缠输出的线路分送远离的A和B)

作业：练习4.35

The Bell State Circuit



x	y	Output
$ 0\rangle$	$ 0\rangle$	$\frac{1}{\sqrt{2}}(00\rangle + 11\rangle)$
$ 0\rangle$	$ 1\rangle$	$\frac{1}{\sqrt{2}}(01\rangle + 10\rangle)$
$ 1\rangle$	$ 0\rangle$	$\frac{1}{\sqrt{2}}(00\rangle - 11\rangle)$
$ 1\rangle$	$ 1\rangle$	$\frac{1}{\sqrt{2}}(01\rangle - 10\rangle)$

量子Teleportation

- If Alice and Bob each have a single particle from an entangled pair, then:
 - **It is possible for Alice to teleport a qubit to Bob, using only a classical channel**
 - The state of the original qubit will be destroyed
- How?
 - Using the properties of entangled particles

量子Teleportation (2)

- Alice wants to teleport particle 1 to Bob

$$|\psi\rangle_1 = \alpha|0\rangle_1 + \beta|1\rangle_1$$

- Two particles, 2 and 3, are prepared in an entangled state

$$|\Phi^+\rangle_{23} = \frac{1}{\sqrt{2}}(|0\rangle_2|0\rangle_3 + |1\rangle_2|1\rangle_3)$$

- Particle 2 is given to Alice, particle 3 is given to Bob

量子Teleportation (3)

- In order to teleport particle 1, **Alice** now entangles it with her particle using the CNot and Hadamard gates:

$$\text{CNOT}(|\psi\rangle_1, |\psi\rangle_2); \quad H(|\psi\rangle_1)$$

- Thus, particle 1 is “disassembled” and combined with the entangled pair
- **Alice** measures particles 1 and 2, producing a classical outcome: **00, 01, 10 or 11.**

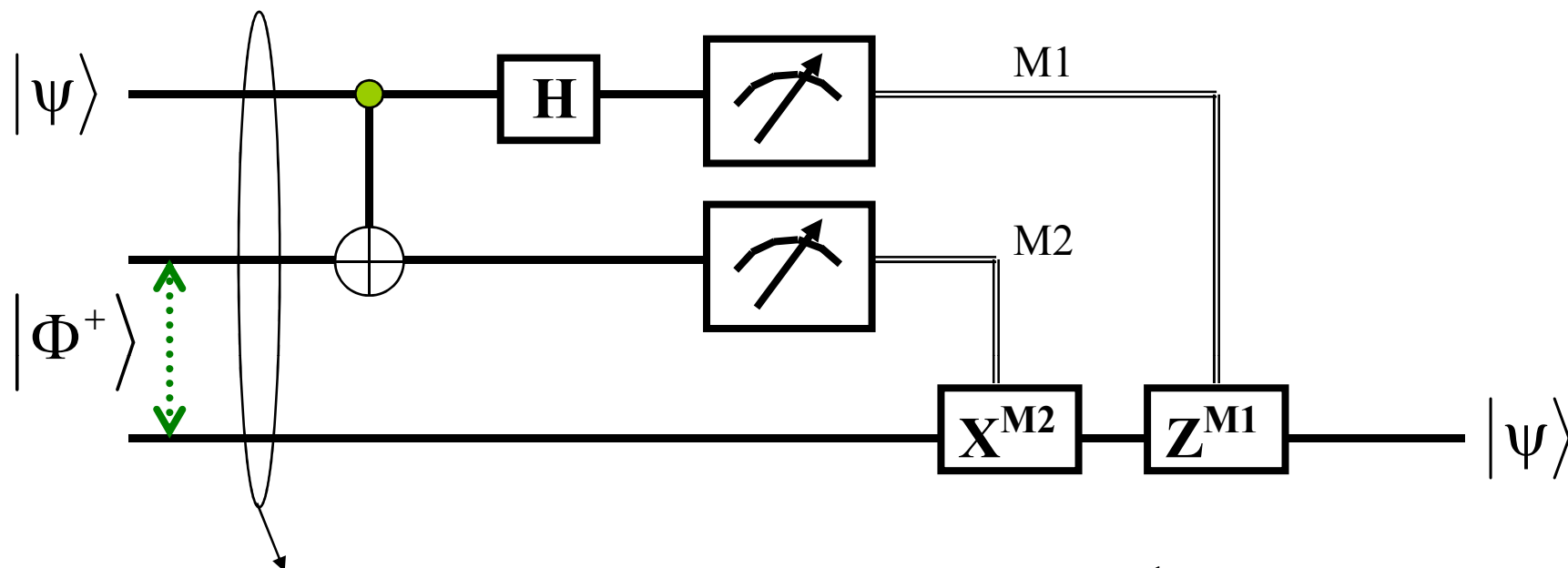
量子Teleportation (4)

- Depending on the outcome of **Alice's** measurement, **Bob** applies a Pauli operator to particle 3, “reincarnating” the original qubit
- If outcome=**00**, Bob uses operator **I**
- If outcome=**01**, Bob uses operator σ_x (=X)
- If outcome=**11**, Bob uses operator σ_y (=Y)
- If outcome=**10**, Bob uses operator σ_z (=Z)
- **Bob's** measurement produces the original state of particle 1.

Summary of Teleportation

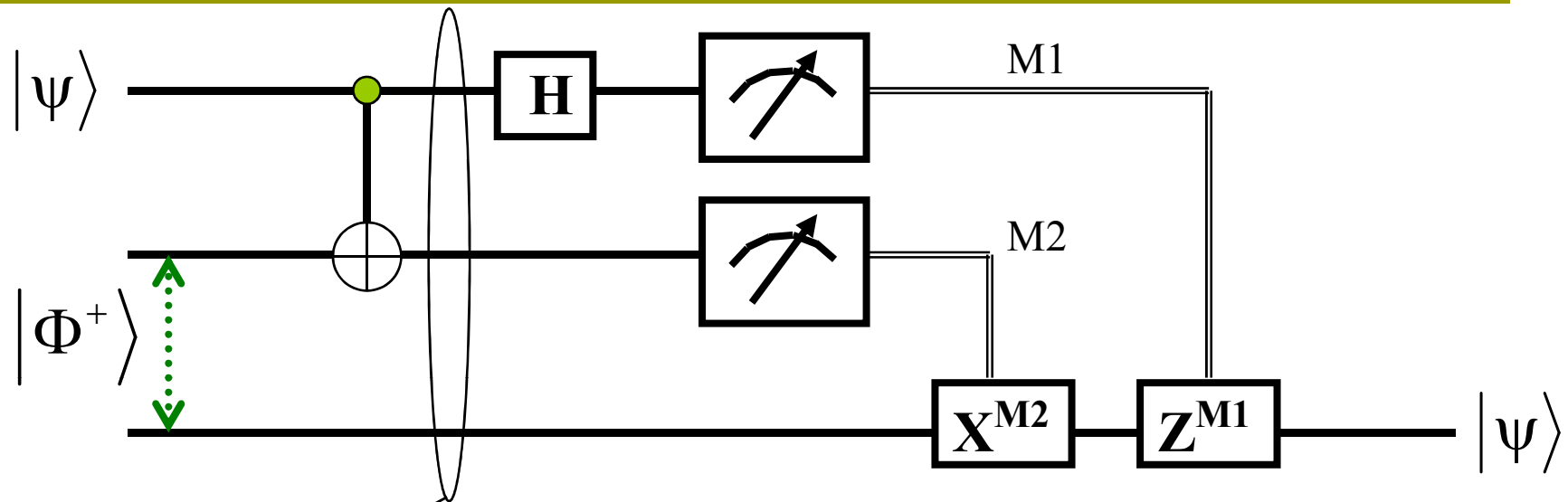
- ▣ The basic idea is that Alice and Bob can perform a sequence of operations on their qubits to “move” the quantum state of a particle from one location to another
- ▣ The actual operations are more involved than we have presented here; see the standard texts on quantum computing for details

量子Teleportation线路



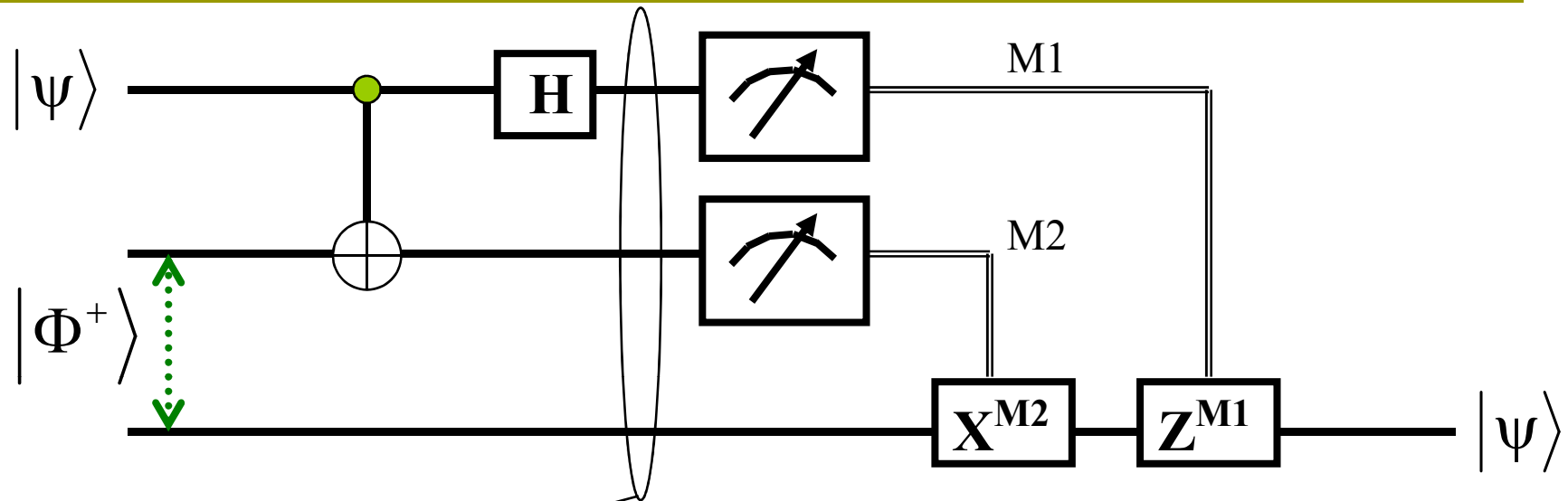
$$|\psi_0\rangle = |\psi\rangle \cdot |\Phi^+\rangle = (\alpha|0\rangle + \beta|1\rangle) \cdot \frac{1}{\sqrt{2}}(|00\rangle + |11\rangle)$$

量子Teleportation线路 (2)



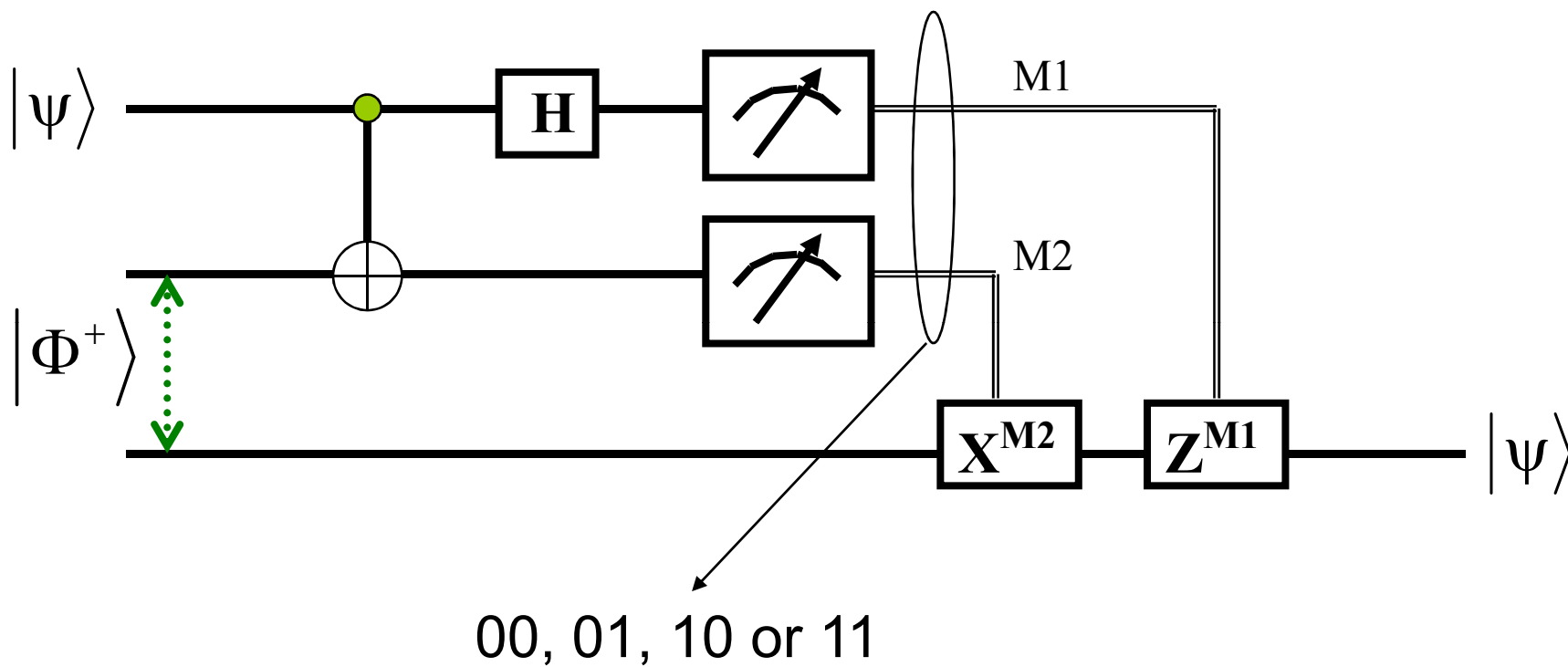
$$|\psi_1\rangle = \frac{1}{\sqrt{2}} \left(\alpha |0\rangle \cdot (|00\rangle + |11\rangle) + \beta |1\rangle \cdot (|01\rangle + |10\rangle) \right)$$

量子Teleportation线路 (3)



$$|\psi_2\rangle = \frac{1}{2} \left[|00\rangle \cdot (\alpha|0\rangle + \beta|1\rangle) + |01\rangle \cdot (\alpha|1\rangle + \beta|0\rangle) + |10\rangle \cdot (\alpha|0\rangle - \beta|1\rangle) + |11\rangle \cdot (\alpha|1\rangle - \beta|0\rangle) \right]$$

量子Teleportation线路 (4)



量子Teleportation的四种情形

If Alice obtains	Then Bob's qubit is in state	So Bob applies gate	obtaining
00	$\alpha 0\rangle + \beta 1\rangle$	I	$\alpha 0\rangle + \beta 1\rangle$
01	$\alpha 1\rangle + \beta 0\rangle$	X	
10	$\alpha 0\rangle - \beta 1\rangle$	Z	
11	$\alpha 1\rangle - \beta 0\rangle$	ZX	

五、通用运算的有效离散集合

通用运算的一个有效离散集合：

POVM：半正定算符取值测度。

M ：任意 POVM 元， U, V 任意两酉演化，定义：

$$E(U, V) \equiv \max_{|\psi\rangle} \|(U - V)|\psi\rangle\|,$$

对于初态 $|\psi\rangle$ ，定义

$$P_U \equiv \langle\psi|U^\dagger M U|\psi\rangle \quad \text{和} \quad P_V \equiv \langle\psi|V^\dagger M V|\psi\rangle,$$

则可证： $|P_U - P_V| \leq 2E(U, V)$.

通用运算的有效离散集合 (2)

对应于量子计算中的门运算，用 V_1, \dots, V_m 来近似 U_1, \dots, U_m ，

可证：
$$E(U_m U_{m-1} \cdots U_1, V_m V_{m-1} \cdots V_1) \leq \sum_{j=1}^m E(U_j, V_j).$$

有效离散集合的选取：

$$\{\bar{H}, \bar{P}, \overline{CNOT}, \overline{Toff}\}, \text{ 或 } \{\bar{H}, \bar{P}, \overline{CNOT}, \bar{T}\}$$

其中 T 为 $\frac{\pi}{8}$ 门：
$$T = \begin{bmatrix} 1 & 0 \\ 0 & e^{i\frac{\pi}{4}} \end{bmatrix}, \quad \begin{cases} T^2 = P = \begin{pmatrix} 1 & 0 \\ 0 & i \end{pmatrix} \\ \bar{T}^2 = \bar{P} \end{cases}$$

通用运算的有效离散集合 (3)

教材上证明： H 加 T 可以以任意精度近似单量子比特酉运算。（ T 和 HTH 可有效逼近任意单比特酉门）

中译本一个打字错误：转动轴的方向应为

$$\vec{n} = (n_x, n_y, n_z) = \frac{\sin \frac{\pi}{8}}{\sin \frac{\theta}{2}} \left(\cos \frac{\pi}{8}, \sin \frac{\pi}{8}, \cos \frac{\pi}{8} \right).$$

通用运算的有效离散集合（4）

① 近似效率：以 ε 精度近似包含 m 个 CNOT 门和单比特门的线路，需 $O\left(m \log^c\left(\frac{m}{\varepsilon}\right)\right)$ 个门。

② 近似一般酉门是困难的：

存在 n 量子比特的一组状态，需要 $\Omega\left(2^n \log\left(\frac{1}{\varepsilon}\right) / \log n\right)$ 次运算近似到距离 ε 以内。

——除去不重要的因子， 2^n 是运算次数的下界。

关于教材的更正和解释

$$(ZX = \sigma_z \sigma_x = i\sigma_y = iY)$$

$$R_x(\theta) \equiv e^{-i\frac{\theta}{2}X} = \cos\frac{\theta}{2}I - i\sin\frac{\theta}{2}X,$$

$$R_y(\theta) \equiv e^{-i\frac{\theta}{2}Y} = \cos\frac{\theta}{2}I - i\sin\frac{\theta}{2}Y,$$

$$R_z(\theta) \equiv e^{-i\frac{\theta}{2}Z} = \cos\frac{\theta}{2}I - i\sin\frac{\theta}{2}Z,$$

$$R_{\bar{n}}(\theta) \equiv e^{-i\frac{\theta}{2}\bar{n}\cdot\vec{\sigma}} = \cos\frac{\theta}{2}I - i\sin\frac{\theta}{2}(n_xX + n_yY + n_zZ),$$

(绕 \bar{n} 旋转 θ)

(因子 $\frac{1}{2}$: 旋转 4π 为恒等算子)

关于教材的更正和解释 (2)

$$T \equiv \exp\left(-i\frac{\pi}{8}Z\right), \quad HTH \equiv \exp\left(-i\frac{\pi}{8}X\right)$$

故有：

$$\begin{aligned} T \cdot HTH &= \left[\cos\frac{\pi}{8}I - i\sin\frac{\pi}{8}Z \right] \left[\cos\frac{\pi}{8}I - i\sin\frac{\pi}{8}X \right] \\ &= \cos^2\frac{\pi}{8}I - i \left[\sin\frac{\pi}{8}\cos\frac{\pi}{8}Z + \sin\frac{\pi}{8}\cos\frac{\pi}{8}X \right] - \sin^2\frac{\pi}{8}ZX \\ &= \cos^2\frac{\pi}{8}I - i \left[\sin\frac{\pi}{8}\cos\frac{\pi}{8}X + \sin^2\frac{\pi}{8}Y + \sin\frac{\pi}{8}\cos\frac{\pi}{8}Z \right] \end{aligned}$$

关于教材的更正和解释 (3)

$$\Rightarrow \begin{cases} \cos \frac{\theta}{2} = \cos^2 \frac{\pi}{8} & (1) \\ n_x \sin \frac{\theta}{2} = \sin \frac{\pi}{8} \cos \frac{\pi}{8} & (2) \\ n_y \sin \frac{\theta}{2} = \sin^2 \frac{\pi}{8} & (3) \\ n_z \sin \frac{\theta}{2} = \sin \frac{\pi}{8} \cos \frac{\pi}{8} & (4) \end{cases}$$

从 (2), (3), (4) 可直接得到

$$\vec{n} = (n_x, n_y, n_z) = \frac{\sin \frac{\pi}{8}}{\sin \frac{\theta}{2}} \left(\cos \frac{\pi}{8}, \sin \frac{\pi}{8}, \cos \frac{\pi}{8} \right).$$

六、两级酉门

两级酉门：改变两个叠加分量上的几率幅的酉门。

两级（**two-level**）酉门是通用的。

两级酉阵：有效作用于两个分量上的酉矩阵，仍然是 2^n 阶酉阵。

以 $d=3$ 为例，
$$U = \begin{bmatrix} a & d & g \\ b & e & h \\ c & f & j \end{bmatrix}$$

如果能找到两级酉阵 U_1, U_2, U_3 使 $U_3 U_2 U_1 U = I$ ，

则有 $U = U_1^+ U_2^+ U_3^+$

两级酉门 (2)

其中: U_1^+, U_2^+, U_3^+ 也是两级酉阵, 则知 U 可分解三个两级酉矩阵之积。

具体变换: 记 $r_{ab} = \sqrt{|a|^2 + |b|^2}$, $r_{ac} = \sqrt{|a'|^2 + |c'|^2}$

$$U_1 = \begin{bmatrix} \frac{a^*}{r_{ab}} & \frac{b^*}{r_{ab}} & 0 \\ \frac{b}{r_{ab}} & \frac{-a}{r_{ab}} & 0 \\ 0 & 0 & 1 \end{bmatrix}, U = \begin{bmatrix} a & d & g \\ b & e & h \\ c & f & j \end{bmatrix}$$

两级酉门 (3)

即: $U_1 = \begin{bmatrix} V_{2 \times 2} & 0 \\ 0 & 1 \end{bmatrix}$, $V_{2 \times 2}$ 是酉阵, 由:

$$\begin{bmatrix} \frac{a^*}{r_{ab}} & \frac{b^*}{r_{ab}} & 0 \\ \frac{b}{r_{ab}} & \frac{-a}{r_{ab}} & 0 \\ 0 & 0 & 1 \end{bmatrix}^+ = \begin{bmatrix} \frac{a}{r_{ab}} & \frac{b^*}{r_{ab}} & 0 \\ \frac{b}{r_{ab}} & -\frac{a^*}{r_{ab}} & 0 \\ 0 & 0 & 1 \end{bmatrix}$$

两级酉门 (4)

可得:

$$\begin{bmatrix} \frac{a^*}{r_{ab}} & \frac{b^*}{r_{ab}} & 0 \\ \frac{b}{r_{ab}} & \frac{-a}{r_{ab}} & 0 \\ 0 & 0 & 1 \end{bmatrix} \begin{bmatrix} \frac{a}{r_{ab}} & \frac{b^*}{r_{ab}} & 0 \\ \frac{b}{r_{ab}} & -\frac{a^*}{r_{ab}} & 0 \\ 0 & 0 & 1 \end{bmatrix} = \begin{bmatrix} \frac{|a|^2 + |b|^2}{\left(\sqrt{|a|^2 + |b|^2}\right)^2} & \frac{a^* b^* - b^* a^*}{\left(\sqrt{|a|^2 + |b|^2}\right)^2} & 0 \\ \frac{ba - ab}{\left(\sqrt{|a|^2 + |b|^2}\right)^2} & \frac{|b|^2 + |a|^2}{\left(\sqrt{|a|^2 + |b|^2}\right)^2} & 0 \\ 0 & 0 & 1 \end{bmatrix}$$
$$= \begin{bmatrix} 1 & 0 & 0 \\ 0 & 1 & 0 \\ 0 & 0 & 1 \end{bmatrix}$$

两级酉门 (5)

$$U_1 U = \begin{bmatrix} a' & d' & g' \\ 0 & e' & h' \\ c' & f' & j' \end{bmatrix}, \quad U_2 = \begin{bmatrix} \frac{a'^*}{r_{ac}} & 0 & \frac{c'^*}{r_{ac}} \\ 0 & 1 & 0 \\ \frac{c'}{r_{ac}} & 0 & \frac{-a'}{r_{ac}} \end{bmatrix},$$

$$U_2 U_1 U = \begin{bmatrix} a'' & d'' & g'' \\ 0 & e'' & h'' \\ 0 & f'' & j'' \end{bmatrix} \Rightarrow \begin{cases} |a''| = 1, \\ d'' = g'' = 0 \end{cases} \quad \text{(酉阵的行和列向量模为1)}$$

两级酉门 (6)

$$\text{即: } U_2 U_1 U = \begin{bmatrix} 1 & 0 & 0 \\ 0 & e'' & h'' \\ 0 & f'' & j'' \end{bmatrix}, \quad \text{取 } U_3 = \begin{bmatrix} 1 & 0 & 0 \\ 0 & e''^* & f''^* \\ 0 & h''^* & j''^* \end{bmatrix} \quad \left(= (U_2 U_1 U)^\dagger \right)$$

必有 $U_3 U_2 U_1 U = I$.

即 $U = U_1^+ U_2^+ U_3^+$ 是 U 的两级酉阵分解。

一般情形： d 维 H 空间上酉变换矩阵的二级酉阵分解可通过类似构造得到。

第四章 量子逻辑线路模型

Q&A